

Список литературы

- [1] Kendelewicz T., Kierzek-Pecold E. // Sol. St. Commun. 1978. V. 25. P. 579–581.
- [2] Ляпилин И. И., Цидильковский И. М. // УФН. 1985. Т. 146. В. 1. С. 35–72.
- [3] Moritani A., Taniguchi K., Hamaguchi C. // J. Phys. Soc. Japan. 1973. V. 34. P. 79–88.
- [4] Wrobel J. M., Bassett L. C., Aubel J. L., Sundaram S. // J. Appl. Phys. 1986. V. 60. P. 1135–1138.
- [5] Велиюлин Э. И., Ляпин Р. Х. // Тез. докл. XX Всес. съезда по спектроскопии. Киев, 1988.
- [6] Aspnes D. E., Rowe J. E. // Phys. Rev. Lett. 1971. V. 27. P. 188–190.
- [7] Amirtharaj P. M., Pollak F. H., Furdyna J. K. // Sol. St. Commun. 1981. V. 39. P. 35–39.

Московский государственный университет
им. М. В. Ломоносова

Получено 10.07.1989
Принято к печати 1.09.1989

ФТП, том 24, вып. 1, 1990

ЗЕЕМАНОВСКОЕ РАСПЩЕПЛЕНИЕ ЗГ₈-СОСТОЯНИЯ МЕЛКИХ АКЦЕПТОРОВ В ГЕРМАНИИ

Васильев В. П., Гельмонт Б. Л., Голубев В. Г.,
Иванов-Омский В. И., Кропотов Г. И.

В настоящей работе изучено зеемановское расщепление возбужденного 3Г₈-состояния дырки, связанной на мелком акцепторе III группы в германии. Получены и проанализированы экспериментальные и теоретические зависимости расщепления от ориентации вектора напряженности магнитного поля (Н) по отношению к осям кристалла. Идентифицированы компоненты 3Г₈-состояния по проекции полного момента.

Четырехкратно вырожденное по проекции m_j полного углового момента J состояние дырки, волновая функция которого преобразуется по представлению Г₈, в линейном по магнитному полю приближении описывается гамильтонианом [1]

$$\mathcal{H}_L = \mu_B g'_1 (H_J) + \mu_B g'_2 (J_x^3 H_x + J_y^3 H_y + J_z^3 H_z). \quad (1)$$

Здесь μ_B — магнетон Бора, g'_1 и g'_2 — параметры, зависящие от невозможных волновых функций состояния.

Зеемановское расщепление при произвольной ориентации Н

$$\Delta E = \mu_B g'_1 \lambda H, \quad (2)$$

где $\lambda^2 = 1/8 [9(1+9r)^2 + (1+r)^2] \pm (1+7r)[(1+13r)^2 - 36r(1+10r)(h_x^2 h_y^2 + h_y^2 h_z^2 + h_z^2 h_x^2)]^{1/2}$, а $h_i = H_i/H$. Параметр $r = g'_2/g'_1$ характеризует отклонение состояния от сферической симметрии. Формулу (2) иногда удобно представить в виде $\Delta E_{m_j} = m_j g'_m \mu_B H$, где $m_j = +\frac{3}{2}, +\frac{1}{2}, -\frac{1}{2}, -\frac{3}{2}$.

Рассчитанная зависимость величины линейного зеемановского расщепления от угла между вектором Н и кристаллографическими осями при вращении Н в плоскости (110) показана на рис. 1.

Экспериментально регистрировались спектры фотовозбуждения в 3Г₈-состояние из основного состояния (C-линий) дырки, связанной на акцепторах — боре, алюминии или галлии. Концентрация примесей составляла 10^{10} – 10^{12} см⁻³. Использовался метод субмиллиметровой лазерной фотоэлектрической магнитоспектроскопии [2]. Источниками излучения являлись лазеры на парах CH₃OH и CH₃OD с оптической накачкой перестраиваемым CO₂-лазером [3].

Зависимость положения компонентов C-линий в магнитном поле от направления вектора Н в плоскости (110) приведена на рис. 2. Изменение расстояний

$H \parallel [100]$			$H \parallel [111]$			$H \parallel [110]$		
данные нашей работы	[4]	m_j	данные нашей работы	[4]	m_j	данные нашей работы	[4]	m_j
C_{12}	C_{12}	$\left\{ \begin{array}{l} \frac{3}{2} \\ \frac{1}{2} \end{array} \right.$	C'_1	C'_4	$\left\{ \begin{array}{l} \frac{3}{2} \\ \frac{1}{2} \end{array} \right.$	C''_1	C''_2	$\frac{3}{2}$
C_{34}	C_{34}	$\left\{ \begin{array}{l} -\frac{1}{2} \\ -\frac{3}{2} \end{array} \right.$	C'_{23}	C'_{23}	$\left\{ \begin{array}{l} \frac{1}{2} \\ -\frac{1}{2} \end{array} \right.$	C''_2	C''_1	$\frac{1}{2}$

между линиями в магнитном поле пропорционально изменению энергии зеемановского расщепления состояний. При этом величина зеемановского расщепления $3\Gamma_8^-$ -состояния много больше, чем расщепление основного состояния [4].

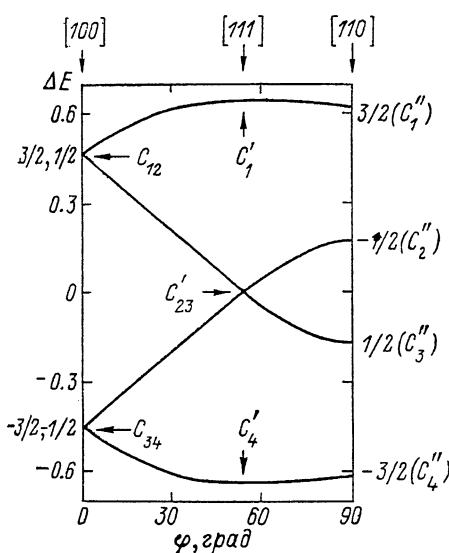


Рис. 1. Зависимость расщепления $3\Gamma_8^-$ -состояния от направления магнитного поля.

Энергия измеряется в единицах $g_1\mu H$, $r = -1/3$ [4].

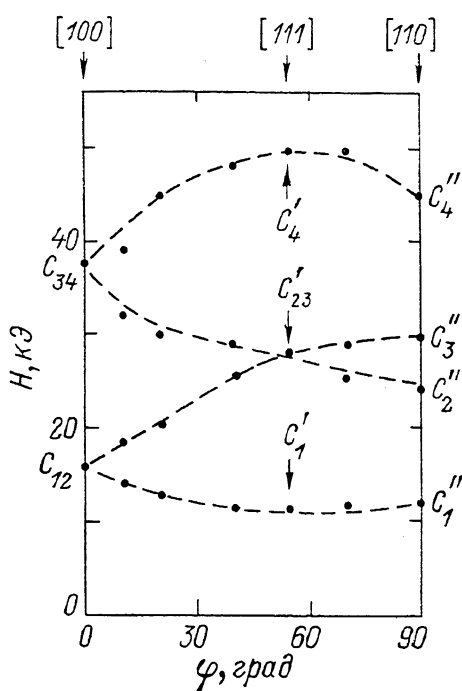


Рис. 2. Зависимость положения C -линий от направления магнитного поля.

Точки — эксперимент; примесь — алюминий; $\lambda = 133.1$ мкм. Штриховые линии проведены для наглядности.

Поэтому допустимо сопоставление угловых зависимостей на рис. 1 и 2. Оно свидетельствует о качественном совпадении рассчитанной зависимости с экспериментальными данными. Сравнение позволяет идентифицировать конечные состояния переходов, соответствующие компонентам C -линий, по проекции полного момента. Результаты идентификации приводятся в таблице и сравниваются с данными [4]. В [4] идентификация проводилась также по спектрам фотовозбуждения, но только в геометриях $H \parallel [100]$, $H \parallel [111]$ и $H \parallel [110]$, где возможна неоднозначность в идентификации (рис. 1, 2).

Хорошее совпадение эксперимента и теории позволяет считать окончательно установленной идентификацию компонентов $3\Gamma_8^-$ -состояния по проекции полного момента.

Список литературы

- [1] Merlet F., Pajot B., Arcas Ph., Jean-Louis A. M. // Phys. Rev. B. 1975. V. 12. N 8. P. 3297—3317.

- [2] Аверкиев Н. С., Гельмонт Б. Л., Голубев В. Г., Иванов-Омский В. И., Кропотов Г. И. // ЖЭТФ. 1982. Т. 83. В. 4 (10). С. 1409—1417.
[3] Голубев В. Г., Гореленок А. Т., Иванов-Омский В. И., Минервин И. Г., Осутин А. В. // Изв. АН СССР. Сер. физ. 1986. Т. 50. В. 2. С. 282—285.
[4] Broeckx J., Clauws P., Van den Steen K., Vennik J. // J. Phys. C. 1979. V. 12. Р. 4061—4079.

Физико-технический институт
им. А. Ф. Иоффе АН СССР
Ленинград

Получено 1.08.1989
Принято к печати 1.09.1989

ФТП, том 24, вып. 1, 1990

ЭНЕРГИЯ СВЯЗИ ДЫРКИ С НЕЙТРАЛЬНЫМ АКЦЕПТОРОМ В АЛМАЗОПОДОБНЫХ ПОЛУПРОВОДНИКАХ

Гельмонт Б. Л., Родина А. В., Эфрос Ал. Л.

Известно, что нейтральный донор или акцептор может присоединить к себе еще одну заряженную частицу — электрон или дырку и образовать при этом так называемый D^- - или A^{+} -центр соответственно [1]. В полупроводниках с простой параболической зоной проводимости D^- -центр аналогичен отрицательному иону водорода H^- . Структура его волновых функций хорошо известна, а для энергии связи расчеты дают значение, составляющее 5.5 % от энергии связи нейтрального центра [2].

Настоящая работа посвящена расчету энергии связи дырки с нейтральным центром акцепторного типа (A^{+} -центр) в полупроводниках с вырожденной валентной зоной (типа Ge, InSb, GaAs). Интерес к центрам такого типа возрос в последнее время в связи с возможностью прямого и точного измерения их энергии связи [3].

Рассмотрим только мелкий «водородоподобный» акцептор,¹ потенциал примесного центра в котором имеет кулоновский вид — e^2/xr , где x — диэлектрическая проницаемость полупроводника. Гамильтониан, описывающий A^{+} -центр такого типа, можно записать в виде

$$\hat{H} = \hat{H}_0(\mathbf{r}_1) + \hat{H}_0(\mathbf{r}_2) + \frac{e^2}{x|\mathbf{r}_1 - \mathbf{r}_2|}, \quad (1a)$$

$$\hat{H}_0(\mathbf{r}) = \hat{H}_L(\mathbf{r}) - \frac{e^2}{xr}, \quad (1b)$$

$$\hat{H}_L(\mathbf{r}) = \frac{1}{m_0} \left[\left(\gamma_1 + \frac{5}{2} \gamma \right) \frac{\hat{\mathbf{p}}^2}{2} - \gamma (\hat{\mathbf{p}} \mathbf{J})^2 \right], \quad (1c)$$

где \mathbf{r}_1 и \mathbf{r}_2 — координаты двух дырок относительно примесного центра, m_0 — масса свободного электрона. Гамильтониан Латтинжера \hat{H}_L записан в пренебрежении гофрировкой изоэнергетических поверхностей. Соответственно с этим γ_1 и $\gamma = \gamma_2 = \gamma_3$ — постоянные Латтинжера, связанные с эффективной массой легкой и тяжелой дырок соотношениями $m_l = m_0 / (\gamma_1 + 2\gamma)$, $m_h = m_0 / (\gamma_1 - 2\gamma)$ [5]. Входящие в \hat{H}_L матрицы J_x , J_y , J_z имеют размерность 4×4 и являются проекциями спинового момента $J = 3/2$ [6]. Гамильтониан \hat{H}_0 описывает дырку на нейтральном акцепторе в полупроводнике с вырожденной валентной зоной.

В связи со сферической симметрией гамильтониана \hat{H}_0 все дырочные состояния на нейтральном акцепторе характеризуются полным моментом \hat{F} и $(2F+1)$

¹ Для глубоких акцепторов энергия связи A^{+} -центров находилась по теории возмущений в работе [4].